

зало, что это интересное явление появляется только при сферической или цилиндрической симметрии потока и отсутствует в случае плоского одномерного течения. Вторая волна появляется вблизи области постоянного давления. Однако дальнейшее рассмотрение движения образовавшейся волны сжатия сопряжено с математическими трудностями и невозможно без численного интегрирования. Поскольку волны быстро затухают из-за расходности, видимо, процесс образования второй волны будет периодическим, пока не затормозится и не остановится внедряющаяся в мишень частица.

Таким образом, начальный этап соударения частицы с поверхностью, исследованный в данной работе, характеризуется быстрым затуханием ударной волны, распространяющейся по частице от границы раздела. Ослабленная ударная волна при выходе ее на свободную поверхность лишь незначительно (не более 30%) тормозит и уменьшает поступательную скорость движения частицы. Процесс расплющивания частицы и внедрение ее в глубь мишени длителен и существенно превосходит время перемещения звуковой волны по частице. Образующаяся в сжатом веществе вторая ударная волна вторично затормозить поступательное движение частицы.

#### ЛИТЕРАТУРА

1. Я. Б. Зельдович, Ю. П. Райзер. Физика ударных волн и высокотемпературных гидродинамических явлений. М.: Физматгиз, 1963.
2. Высокоскоростные ударные явления/Пер. под ред. В. Н. Николаевского. М.: Мир, 1973.
3. Г. Курант, К. Фридрихс. Сверхзвуковые течения и ударные волны. М.: ИЛ, 1950.
4. G. R. Fowles. J. Appl. Phys., 1960, 31, 655.
5. M. P. Fridman. J. Fluid Mechanics, 1961, 11, 1, 1.
6. К. П. Станюкович. Неустановившиеся движения сплошной среды. М.: Гостехиздат, 1955, 77.
7. M. P. Fridman. J. of Fluids, 1960, 8, 2.

УДК 539.42 : 620.172.254 : 539.104

#### ОТКОЛЬПОЕ РАЗРУШЕНИЕ АЛЮМИНИЕВЫХ ПЛАСТИН ПРИ ИМПУЛЬСНОМ ТЕПЛОВОМ ПРОГРЕВЕ

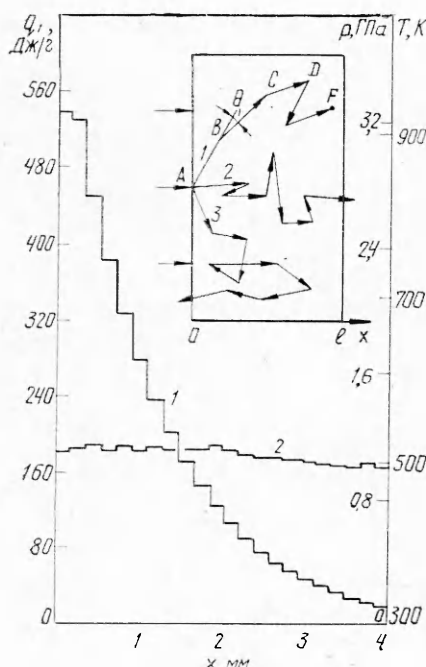
*Н. Х. Ахмадеев, Е. П. Сорокина, К. К. Яушев*

(Уфа)

1. В данной работе проведено численное исследование импульсного воздействия электромагнитного излучения на плоские пластины (рис. 1). Под действием излучения пластина первоначально испытывает значительное сжатие с уровнем напряжений порядка нескольких гигапаскалей при энергиях поглощения  $\sim 10$  кДж. Сжимающие напряжения в образце образуются в результате мгновенного нагрева пластины. С прекращением облучения пластина начинает разгружаться от свободных поверхностей. В процессе разгрузки возможно появление значительных растягивающих напряжений, способных вызвать откольные микро- и макроразрушения [1], которые могут произойти как со стороны облученной поверхности, так и с внешней (теневой). Уравнение состояния и удельную внутреннюю энергию материала пластины будем использовать в форме Ми — Грюнайзена

$$p(\rho^0, T) = p_x(\rho^0) + p_t(\rho^0, T), \quad e(\rho^0, T) = e_x(\rho^0) + e_t(T), \\ p_t(\rho^0, T) = \gamma(\rho^0)\rho^0 e_t(T), \quad e_t(T) = c_v T.$$

Здесь  $\rho^0$  — истинная плотность;  $\gamma(\rho^0)$  — коэффициент Грюнайзена;  $c_v$  и  $T$  — удельная теплоемкость и температура. При отсутствии других источников воздействия можно считать, что вся поглощенная энергия излучения переходит в тепловую энергию  $e_t$ , и тогда начальное давление сжатия



Rис. 1.

монохроматических  $\gamma$ -квантов каждого  $\gamma$ -кванта в пластине, начавшего свою историю в точке  $A$  с координатой  $x = 0$ , характеризуется длиной свободного пробега  $L$  и углом рассеяния  $\theta$ , зависящими от взаимодействия излучения с веществом [2]. Выделяют следующие типы взаимодействия: комптоновское (неупругое) рассеяние; фотопоглощение, имеющее место для квантов с  $E_\gamma < 1$  МэВ; и образование электронно-позитронных пар, реализующееся при  $E_\gamma > 1$  МэВ. Указанные типы характеризуются соответствующими микроскопическими сечениями взаимодействия  $\Sigma_c$ ,  $\Sigma_f$  и  $\Sigma_p$ , а их сумма определяет полное сечение взаимодействия  $\Sigma_t = \Sigma_c + \Sigma_f + \Sigma_p$ . Длина свободного пробега  $\gamma$ -кванта из точки с радиус-вектором  $r$  в направлении  $\vec{\Omega}$  и его новое положение  $\vec{r}'$  (точки  $B$  и  $C$  на рис. 1) определяются соотношениями:  $L = -\ln \beta_t / \Sigma_t$ ,  $\vec{r}' = \vec{r} + L \vec{\Omega}$  ( $\beta_t$  — псевдослучайное число, равномерно распределенное на отрезке  $[0, 1]$ ). Если  $0 < r_x \leq l$ , то тип взаимодействия определяется следующим образом. При  $\Sigma_f / \Sigma_t > \beta_2$  ( $\beta_2$ , как и  $\beta_t$ , есть псевдослучайное число) происходит фотопоглощение — вся энергия  $\gamma$ -кванта переходит во внутреннюю энергию вещества  $e_t$ , и на этом его история заканчивается (см. рис. 1, точка  $F$ ). Если  $\Sigma_f / \Sigma_t < \beta_2$  и  $(\Sigma_f + \Sigma_c) / \Sigma_t > \beta_2$ , то происходит комптоновское рассеяние с поглощением лишь части энергии  $E'_\gamma$ . Энергия  $E'_\gamma$ , оставшаяся после неупрого взаимодействия, находится по формуле

$$E'_\gamma = E_\gamma / (1 + (1 - \cos \theta) E_\gamma / m_0 c^2),$$

где  $\theta$  — случайно разыгранный угол рассеяния;  $m_0 c^2 = 0,511$  МэВ — масса покоя электрона. При  $E'_\gamma < 0,001$  МэВ считается, что квант полностью поглотился в веществе. Если же  $(\Sigma_f + \Sigma_c) / \Sigma_t < \beta_2$ , то  $\gamma$ -квант, взаимодействуя с веществом, полностью поглощается с образованием электронно-позитронной пары, и затем в результате аннигиляции позитрона со свободным электроном рождаются два новых  $\gamma$ -кванта, история прохождения которых в веществе снова разыгрывается. Таким образом, траектория движения любого падающего на пластину  $\gamma$ -кванта заканчивается либо его поглощением в веществе, например, в точке  $F$  (см. рис. 1, траекто-

тия  $p_0(\rho_0^0, T_0)$  и энергию  $e_0(\rho_0^0, T_0)$  можно определить так:

$$p_0(\rho_0^0, T_0) = p_x(\rho_0^0) + \gamma(\rho_0^0) \rho_0 e_T(T_0),$$

$$e_0(\rho_0^0, T_0) = e_x(\rho_0^0) + e_T(T_{00}) + q_0,$$

где  $\rho_0^0$  — плотность при начальных условиях (в условиях мгновенного нагрева  $\rho_0^0 = \rho_{00}^0$ , т. е. плотности при нормальных условиях:  $p_{00}(\rho_{00}^0, T_{00}) = 0$  и  $T_{00} = 300$  К);  $q_0$  — удельная (на единицу массы) поглощенная энергия;  $T_0$  — начальная температура нагрева, которая определяется энергией  $q_0$ , а именно:  $T_0 = T_{00} + q_0 / c_v$ . Реализуемое начальное давление по толщине пластины  $p_0(\rho_0^0(x, t), T_0(x, t))$  в момент времени  $t = 0$  зависит от свойств и материала пластины и излучения. Процессы прохождения и поглощения излучения в пластине будем моделировать, используя метод статистических испытаний (метод Монте-Карло).

2. Пусть на металлическую пластину толщиной  $l$  (см. рис. 1) падает поток с энергией кванта  $E_\gamma$ . Траектория  $\gamma$ -кванта, начавшего свою историю в точке  $A$  с координатой  $x = 0$ , характеризуется длиной свободного пробега  $L$  и углом рассеяния  $\theta$ , зависящими от взаимодействия излучения с веществом [2]. Выделяют следующие типы взаимодействия: комптоновское (неупругое) рассеяние; фотопоглощение, имеющее место для квантов с  $E_\gamma < 1$  МэВ; и образование электронно-позитронных пар, реализующееся при  $E_\gamma > 1$  МэВ. Указанные типы характеризуются соответствующими микроскопическими сечениями взаимодействия  $\Sigma_c$ ,  $\Sigma_f$  и  $\Sigma_p$ , а их сумма определяет полное сечение взаимодействия  $\Sigma_t = \Sigma_c + \Sigma_f + \Sigma_p$ . Длина свободного пробега  $\gamma$ -кванта из точки с радиус-вектором  $r$  в направлении  $\vec{\Omega}$  и его новое положение  $\vec{r}'$  (точки  $B$  и  $C$  на рис. 1) определяются соотношениями:  $L = -\ln \beta_t / \Sigma_t$ ,  $\vec{r}' = \vec{r} + L \vec{\Omega}$  ( $\beta_t$  — псевдослучайное число, равномерно распределенное на отрезке  $[0, 1]$ ). Если  $0 < r_x \leq l$ , то тип взаимодействия определяется следующим образом. При  $\Sigma_f / \Sigma_t > \beta_2$  ( $\beta_2$ , как и  $\beta_t$ , есть псевдослучайное число) происходит фотопоглощение — вся энергия  $\gamma$ -кванта переходит во внутреннюю энергию вещества  $e_t$ , и на этом его история заканчивается (см. рис. 1, точка  $F$ ). Если  $\Sigma_f / \Sigma_t < \beta_2$  и  $(\Sigma_f + \Sigma_c) / \Sigma_t > \beta_2$ , то происходит комптоновское рассеяние с поглощением лишь части энергии  $E'_\gamma$ . Энергия  $E'_\gamma$ , оставшаяся после неупрого взаимодействия, находится по формуле

$$E'_\gamma = E_\gamma / (1 + (1 - \cos \theta) E_\gamma / m_0 c^2),$$

где  $\theta$  — случайно разыгранный угол рассеяния;  $m_0 c^2 = 0,511$  МэВ — масса покоя электрона. При  $E'_\gamma < 0,001$  МэВ считается, что квант полностью поглотился в веществе. Если же  $(\Sigma_f + \Sigma_c) / \Sigma_t < \beta_2$ , то  $\gamma$ -квант, взаимодействуя с веществом, полностью поглощается с образованием электронно-позитронной пары, и затем в результате аннигиляции позитрона со свободным электроном рождаются два новых  $\gamma$ -кванта, история прохождения которых в веществе снова разыгрывается. Таким образом, траектория движения любого падающего на пластину  $\gamma$ -кванта заканчивается либо его поглощением в веществе, например, в точке  $F$  (см. рис. 1, траекто-

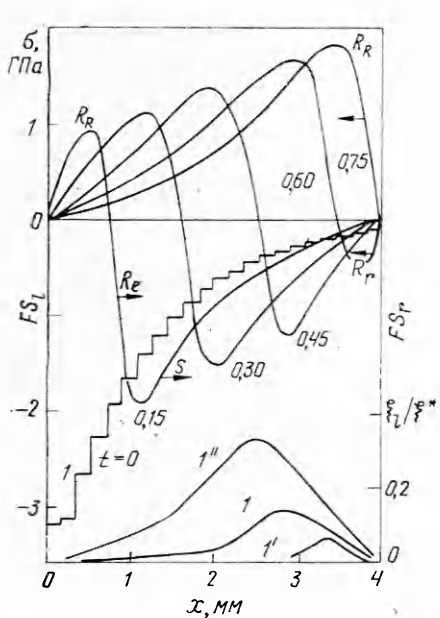


Рис. 2.

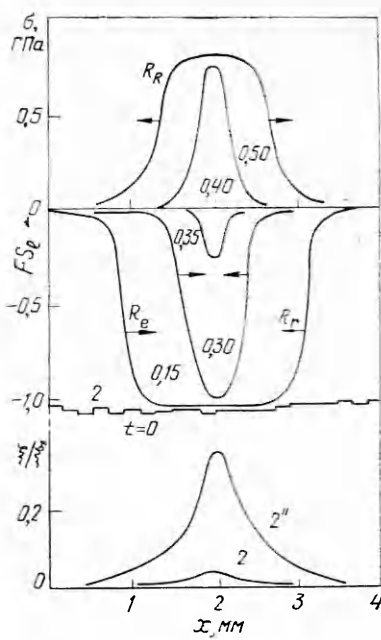


Рис. 3.

рия 1), либо вылетом за пределы пластины: за внешнюю свободную поверхность при  $r_x' > l$  (траектория 2) или в сторону источника при  $r_x' < 0$  (траектория 3). Проведя достаточно большое число статистических испытаний, можно получить распределение поглощенной энергии по длине облучаемой пластины.

Изложенная выше методика применялась к расчету воздействия монохроматического излучения на алюминиевую пластину толщиной  $l = 4$  мм. Результаты расчетов представлены на рис. 1 в виде кривых распределения поглощенной энергии  $q_0(x)$  по толщине пластины, по которым также можно судить о распределении начальной температуры  $T_0(x)$  и давления  $p_0(x)$ . В первом варианте расчетов энергия  $E_1$  была принята равной 0,02 МэВ (кривая 1), во втором варианте  $E_1 = 0,2$  МэВ (кривая 2).

В расчетах контролировалась суммарная энергия  $Q_l = \int_0^l q_0(x) dx$ , поглощенная всей пластиной. Кривые 1 и 2, показанные на рис. 1, получены при  $Q_l = 4$  кДж/г.

3. Возникающую при разгрузке волновую картину течения в пластине рассчитывали с использованием модели повреждаемой среды, уравнения которой и кинетика образования и накопления микроповреждений приведены в [3]. Результаты численного моделирования процесса разгрузки мгновенно нагретой пластины с начальным распределением сжимающих напряжений  $\sigma_0(x) = -p_0(x)$  в одномерном плоском случае представлены на рис. 2 и 3 ( $x, t$  — лагранжевые координаты;  $\sigma = -p + \tau$ ;  $\tau$  — девиатор напряжений, описывающий упругие свойства материала [3]).

На рис. 2 представлены эпюры напряжений  $\sigma(x)$  в пластине, полученные при облучении с  $E_1 = 0,02$  МэВ. В начальный момент времени  $t = 0$  максимальное сжатие  $\sigma_{0m}$ , равное 3,1 ГПа, реализуется на левой свободной поверхности  $FS_l$  ( $x = 0$ ). Ввиду неравномерного прогрева при  $t > 0$  происходит формирование импульса сжимающих напряжений, фронты сжатия и разгрузки которого показаны стрелками и обозначены через  $S$  и  $R_l$  (см. эпюру  $\sigma(x)$  при  $t = 0,15$  мкс,  $R_l$  — разгрузка, образующаяся на поверхности  $FS_l$ ). В зоне близ  $FS_l$  разгрузка слоев, в которых  $\sigma \approx \sigma_{0m}$ , приводит к появлению начального импульса растяжения  $R_R$  с напряжениями до 1 ГПа. В процессе эволюции импульса сжатия после выхода

волны  $S$  на правую свободную поверхность пластины  $FS_r$ , образуется волна разгрузки  $R_r$ . Встречное взаимодействие волн  $R_l$  и  $R_r$  завершает формирование импульса растяжения  $R_R$  (см. эпюру  $\sigma(x)$  при  $t = 0,75$  мкс). В дальнейшем импульс  $R_R$  начинает двигаться от поверхности  $FS_r$ . Распределение удельного объемного содержания повреждений  $\xi/\xi^*$ , образовавшихся в процессе разгрузки, показано на рис. 2 линией 1 ( $\xi^*$  — критическое объемное содержание повреждений, приводящее к макроповреждению;  $\xi^* = 0,1$ ). Из кривой 1 видно, что повреждения, хотя и в малом количестве, имеются практически по всей толщине пластины, а максимальное разрушение наблюдается при  $x = 2,8$  мм. С уменьшением дозы облучения  $Q_l$  до 2 кДж/г (волновая картина течения в этом случае близка к данным рис. 2 при  $\sigma_{0m} = 1,5$  ГПа) повреждения образуются только близ поверхности  $FS_r$  с максимумом  $\xi/\xi^*$ , приходящимся на глубину 3,5 мм (кривая 1' на рис. 2). Пороговое значение  $Q_l^*$ , ниже которого в пластине повреждения не наблюдаются, составляет 1 кДж/г. Если же принять, что  $Q_l = 6$  кДж/г ( $\sigma_{0m} = 4,5$  ГПа), то образуются гораздо большие повреждения, причем максимум  $\xi/\xi^*$  смещается ближе к центру пластины (кривая 1'' на рис. 2).

Рассмотрим облучение с  $E_\gamma = 0,2$  МэВ, дающее относительно равномерное начальное сжатие:  $\sigma_0(x) = \sigma_{0c} = 1$  ГПа при  $Q_l = 4$  кДж/г. Численные результаты показаны на рис. 3. Волны  $R_l$  и  $R_r$ , разгружающие пластину с левой и правой свободных поверхностей (см. эпюру  $\sigma(x)$  при  $t = 0,15$  мкс), при встречном взаимодействии формируют в центре импульс растяжения  $R_R$  (см. эпюры  $\sigma(x)$  при  $t = 0,35$  и 0,40 мкс). Образующиеся при растяжении повреждения  $\xi/\xi^*$  ( $\max \xi/\xi^* < 0,05$ ) локализованы в центре пластины (кривая 2 на рис. 3). При облучении с  $Q_l = 22$  кДж/г ( $\sigma_{0c} = 0,5$  ГПа) в пластине повреждения уже не наблюдаются, а пороговое значение  $Q_l^*$  равно 3 кДж/г. При  $Q_l = 6$  кДж/г ( $\sigma_{0c} = 1,5$  ГПа) кривая повреждений  $\xi/\xi^*$  показана на рис. 3 линией 2''. Имея в виду исследования [4], в которых показано влияние температуры начального нагрева  $T_0$  на откольное разрушение, приведенные выше значения  $Q_l^*$  необходимо понимать как оценку сверху. Отметим здесь, что аналогичные данные (равномерный прогрев и разрушение в центральной части) получены в [5] при облучении бериллиевой пластины.

4. Представленные в настоящей работе результаты численных исследований показывают, что предлагаемая расчетная методика позволяет описать (качественно и количественно) и прогнозировать откольные разрушения в твердых телах при мгновенном тепловом прогреве облучением. Показано, что образование и распределение повреждений в мишени зависят от суммарной поглощенной энергии  $Q_l$  и собственной энергии облучения  $E_\gamma$ . Установлено, что хотя при малых  $E_\gamma$  ( $\sim 0,02$  МэВ) поглощение энергии происходит в основном близ поверхности облучения, тем не менее разрушение локализуется около теневой (свободной) поверхности пластины. При больших энергиях облучения  $E_\gamma$  ( $\sim 0,2$  МэВ) пластина прогревается практически равномерно и подвергается разрушению в центральной части. Оценены пороговые значения энергии  $Q_l^*$ , приводящие к откольным разрушениям.

В заключение авторы выражают благодарность Р. И. Нигматулину за постановку задачи и полезные обсуждения.

#### ЛИТЕРАТУРА

1. А. П. Балашов и др. Физика и химия обработки материалов, 1982, 2, 16.
2. Э. Сторм, Х. Исаэль. Сечения взаимодействия гамма-излучения. Справочник. М.: Атомиздат, 1973.
3. Н. Х. Ахмадеев, Р. И. Нигматулин. Докл. АН СССР, 1982, 266, 5.
4. В. К. Голубев и др. ПМТФ, 1980, 4, 136.
5. L. Seaman, D. R. Curran, D. A. Shockley. JAP, 1976, 47, 11, 4814.